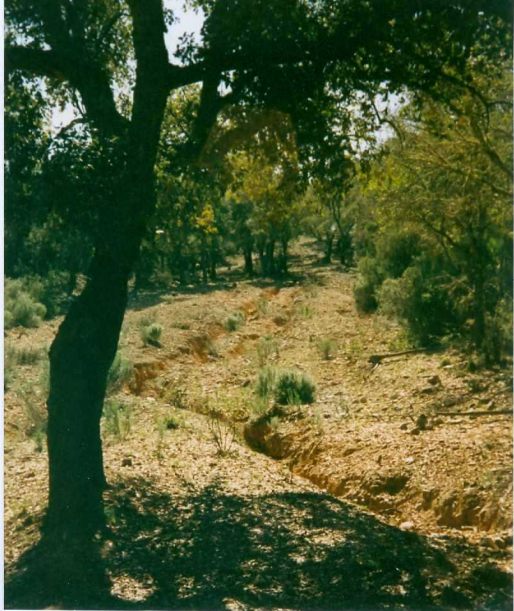




14-29-AD-LE-F-500. Estratificación cruzada plana de ángulo variable y en surco en la tectofacies (16) del Terciario Inferior. Canal de las Dehesas, Km 1.



14-29-AD-LE-F-501. Sedimentos del Terciario adosados al Paleozoico del Sinclinal de Herrera del Duque. Arroyo de Pedro Mingo.



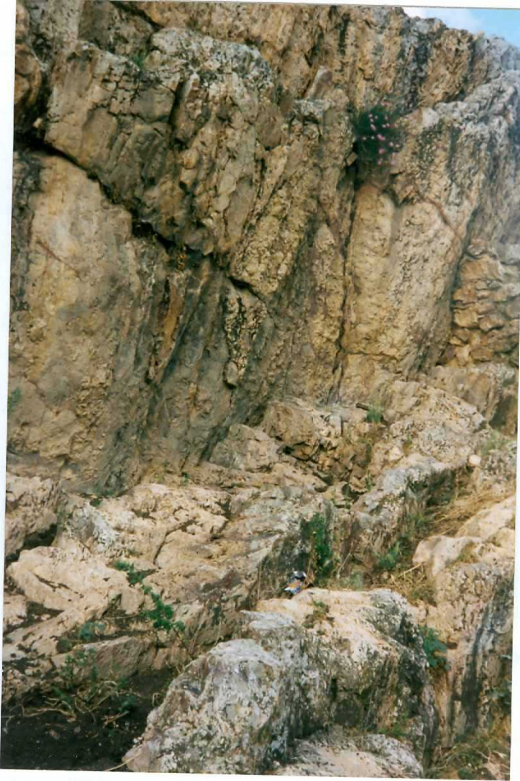
14-29-AD-LE-F-502. Cuerpos subesféricos en la base de las capas de la "Cuarcita de los Majuelos". Llandovery Inferior. Grupo "Pelitas con fragmentos". La litología es idéntica al resto de la capa.



14-29-AD-LE-F-504. Vista panorámica del Sinclinal de la Sierra del Manzano. En primer término "Cuarcita Armoricana y Capas de Pochico", en el fondo del valle "Grupo Cantera".



14-29-AD-LE-F-505. Fractura en Mesa Redonda. Aspecto de la Cuarcita Ordovícica afectada por esta estructura.



14-29-AD-LE-F-506. Detalle de la anterior donde se observan grietas tensionales con relleno de cuarzo perpendiculares en la compresión máxima coherentes con el monumento de cizalla de esta estructura.



14-29-AD-LE-F-507. Facies siliciclástica grosera en la Formación Madrigalejo. Presa del Azud.



14-29-AD-LE-F-508. Estratificación cruzada en surco. Facies siliciclástica gruesa en la Formación Madrigalejo. Presa del Azud.



14-29-AD-LE-F-510. Cuesta de los Rollos. Relieves paleozoicos de las Sierras de la Zarza (izquierda y centro) y Barbas de Oro (derecha). Escalón con depósitos terciarios aflorantes y glacis.



14-29-AD-LE-F-511. Panorámica desde el Cerro de la Atalaya. Al fondo los relieves de las Villuercas y el abanico superior y su glacis. En el fondo del valle, Formación Madrigalejo y diversos glacis y/o terrazas.



14-29-AD-LE-F-512. Fractura Cañanos del Cura-Mesa Redonda.



14-29-AD-LE-F-513. Conglomerado de Raña San Simón (Valdecaballeros pueblo) (cantos cuarcíticos y escasos de pizarra) atribuido a la base del abanico Superior.



14-29-AD-LE-F-514. Afloramientos de la Cuarcita de Risquillo-Grupo Cerro Escudero. Tránsito Silírico-Peñícola



14-29-AD-LE-F-515. Afloramientos de cataclasitas ("peces") ligados a la superficie de la fractura de Mesa Redonda.



14-29-AD-LE-F-516. Corte en la carretera comarcal de Talarrubias a Valdecaballeros de la fractura de Mesa Redonda. Derecha foto, Precámbrico, Izquierda Paleozoico.



14-29-AD-LE-F-517. Detalle de la brecha que se desarrolla en el Paleozoico en la fractura de Mesa Redonda.



14-29-FM-20. Gravas poligénicas (tectofacies) con abundantes cantes aplanados de pizarra imbricados según el martillo. Gran paleocanal en el seno de la formación Madrigalejo. Canal de las Dehesas, 1 Km al Este del Cortijo Zarzalejo.



14-29-FM-21. Arcillas, limos y canales de gravas poligénicas de la serie ocre del Mioceno medio-superior. En las inmediaciones del Km 59 de la Ctra. de Guadalupe a Obando.



14-29-FM-24. En la misma localidad de las fotos anteriores. La carbonatación aparece más desarrollada a lo largo de diaclasas subverticales con dirección N-S.



14-29-FM-25. Formación Madrigalejo limos y arcillas, en la izquierda de la foto con un paleocanal de limos rojizos con cantos dispersos (depósitos rojos), todo ello cubierto por gravas de un glacis-terraza reciente. (Canal de las Dehesas, junto a la Casa de Valdepalacios).



14-29-FM-26. Otro aspecto de la misma foto anterior con el paleorelieve sobre la F. Madrigalejo cubierto por depósitos arcillosos rojos.



14-29-FM-27. Por encima del nivel del agua afloran unos 2 m de arcillas de la F. Madrigalejo, cubiertas por un canal de base erosiva de arenas y gravas rojizas con lixiviaciones y caolinización posteriores. Sobre estos últimos descansan las gravas y limos con cantos de un glacis cuaternario.

* SIN UBICACIÓN EN MCC1, NI EN
PLANO DE SITUACIÓN DE MUESTRAS.



14-29-FM-28. Facies bandeadas del Precámbrico con crenulación y mesopliegues de 3^a fase afectando a S₀ + S₂. S₃ tiene desarrollo variable, como plano axial de dichos pliegues. Km 3 de la carretera de Logrosán a Obando.



14-29-FM-29. Niveles de gravas, esencialmente cuarcíticas, de la Formación arcillo-limosa, de Madrigalejo en las inmediaciones del paleorelieve cuarcítico correspondiente al Pico del Rostro -extremo occidental del Sinclinal de Herrera-.



14-29-FM-30. Excavaciones en la F. Madrigalejo adosada al paleorelieve del Pico del Rostro. Los tramos más altos presentan una acusada rubefacción.



14-29-FM-31. Pizarras con niveles cuarcíticos del Grupo Cerro Escudero (Silúrico del Sinclinal de Herrera del Duque). Ctra. de Valdecaballeros a Talarrubias, Km 25,5.



14-29-FM-32. Capas y bancos cuarcíticos en la parte alta del Grupo Cerro Escudero -paso Silúrico-Devónico- con un pliegue de 1^a fase, producido por flexión y deslizamiento entre capas, y con débil vergencia al Norte. Ctra. de Valdecaballeros a Talarrubias, Km 25. Obsérvese las fracturas que se desarrollan en estos pliegues en la última etapa compresiva.



14-29-FM-33. Calicata de reconocimiento en la F. Madrigalejo, cubierta en este lugar por el canturral del glacis rojo correspondiente al Pleistoceno inferior. Inmediaciones del Km 54 de la Ctra. de Guadalupe a Obando.



14-29-FM-34. Calicata de reconocimiento en la F. Madrigalejo, esencialmente arcillo-limosa pero con niveles de gravas polimórficas en las que predominan los cantos de pizarra y grauvacas. La parte superior de esta formación presenta una alteración ocre sobre la que se superpone, cerca de la superficie, una rubefacción asociada al glacis del Pleistoceno inferior. En la misma localidad de la foto anterior.



14-29-FM-35. Calicatas de reconocimiento sobre la F. Madrigalejo. Inmediaciones del Km 54 de la Ctra. de Guadalupe-Obando.



14-29-FM-36. Tramo arcillo-limoso con clastos dispersos del tramo terciario correspondiente al "abanico ocre" del Neógeno superior. En el Ayo. de Valdefuentes.



14-29-FM-37. Costras carbonatadas intercaladas en los tramos inferiores del "abanco ocre".